

広島大学工学部 正員 門田 博知

1) まえがき

軟弱地盤の圧密沈下の推定に当って、電子計算機が利用されるようになり、深度による圧密特性の変化を考慮して、現場に適した條件のもとで、複雑な計算を短時間に行なうこによって、これまでの平均値を利用する方法との間に相当大きな差があることが指摘されている。従つて現場の沈下観測のデーターと推定値との誤差の原因が明らかにされようが、圧密沈下の推定において、殆んどの場合、一軸圧密試験によって求められる圧密諸係数が採用されている。現場の圧密沈下は三次元であり、また圧密試験とは沈下速度が異なるので、これらを要素とするための方法も研究されている。しかしこれらの研究に際して比較の基準として、一軸圧密試験から求められる圧密諸係数が用いられている。従つて一軸圧密試験を1つの基準とするための試験と考証をすれば、圧密特性を表す圧密諸係数を求める尺度は常に一定でなければならず、土の物理的、化学的、力学的特性によって、その尺度が変化するようでは基準試験としての意味があいまいとなる。Taylor を初めとして著者たるは尺度の変化の原因は側面摩擦の影響と考えていい。すでにこれまで側面摩擦の影響について発表して來ていだが、これではこれまでの研究を再検討して、各々の圧密特性を表す得数に及ぼす側面摩擦の影響について述べる。

2) 一次圧密終了時の有効応力の分布

図-1に一次圧密終了時の有効応力の分布を示した。 P_1, P_2, \dots, P_n は圧密荷重を示し、 P_c は試料の土被り圧、 P_e は圧密先行荷重を示している。

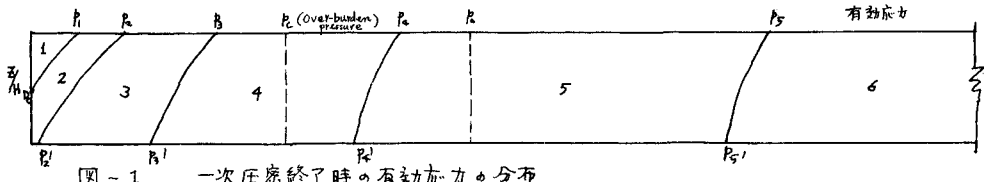


図-1 一次圧密終了時の有効応力の分布

-軸圧密試験によって求められる圧密特性が側面摩擦によって影響を受けてることがよく判る。また①, ②, ③, ④, ⑤, ⑥とは各々の領域で影響の度合が異なりとも容易に想定される。④は側面摩擦のため圧密荷重が試料底面まで伝達されない場合、③は通常圧密の特性を代表すると考えられる。④は過圧密と歟密荷重による圧密特性が混在するが、恐らく沈下せずか、土の組織を変化させるまでには至らず、一軸圧縮試験での破壊荷重以下の状態に近いであろう。⑤は沈下ひずみも相も大きくなり正規圧密状態に近くなっている。⑥に至って始めて殆んど完全に正規圧密状態の圧密特性を示すようになるが、側面摩擦の影響はまだ残るであろう。

図-1のD_cは $D_c = 1 - \sqrt{1 - \frac{R}{\pi H} \times 2.302 \log_{10}(1 + \frac{P_e}{P_c})} \cdots (1)$ である。ここでR: 試料半径, H: 試料高さ, P: 圧密荷重, P_c: 土被り圧, R: 側面摩擦係数であり、側面摩擦係数は $\frac{R}{D_c}$ に比例して減少し、 $R = D_c$ で $f = 0$ と仮定していい。次に試料底面の有効応力 $P_{e-H} > P_c$ となるための圧密荷重を P とすると、 $\frac{P}{P_c} = 2 e^{\frac{2.302}{\pi R H}} - 1 \cdots (2)$ である。側面摩擦の大きさを示す $\frac{R}{D_c}$ と $\frac{P}{P_c}$ の値と

表-1 に示す。表-1において n は $\frac{P_0}{P_c} = 1.0$ において $P_c > P_0$ となるための値と、 n' は $\frac{P_0}{P_c} = 0.8$ で $P_c > P_0$ となるための圧密荷重を示す。 n' は両面排水条件では試料の底面は圧密初期に圧密され、その後除荷されるようになるので、その影響を考慮したものである。

Routine Testにおいて、過圧密、正規圧密領域での圧密1段階の沈下ひずみと側面摩擦の作用しない場合と比較すると、

$$\text{正規圧密} \quad \bar{\alpha}_e = \frac{\int_0^H \log \left(\frac{(H+n)}{n} \right) e^{-\frac{f_R}{R} z} \left(1 - \frac{f_R}{R} z \right)^{-\frac{1}{n}} dz}{\int_0^H \log (1+n) dz} \quad (1)$$

$$\text{過圧密} \quad \bar{\alpha}_e = \frac{\int_0^H m_{v, n} f_o e^{-\frac{f_R}{R} z \left(1 - \frac{f_R}{R} z \right)} dz}{\int_0^H m_{v, n} f_o dz} \quad (2)$$

となる。ここで $n = \frac{P_0}{P_c}$, $m_{v, n} = \frac{1}{P_0}$, P_0 は圧密荷重並びに増加する前の圧密荷重、 n は荷重増加率である。

図-2 に側面摩擦の大きさと各圧密荷重段階の沈下ひずみに及ぼす影響を示す。応力ひずみの関係と $de = m v dP$ の、 $e - \log \bar{\alpha}$ が直線関係にあると仮定するが、側面摩擦の影響が図-3 にもよって示す。

図-3 は $e - \log \bar{\alpha}$ 曲線

図-3 は $e - \log \bar{\alpha}$ 曲線に及ぼす側面摩擦の影響を示すもので、土の組成及び Rebound の影響を除いて、正規圧密領域での特性と比較して示す。①は frictionless, ②は $f_R^H = const.$ の場合、③は

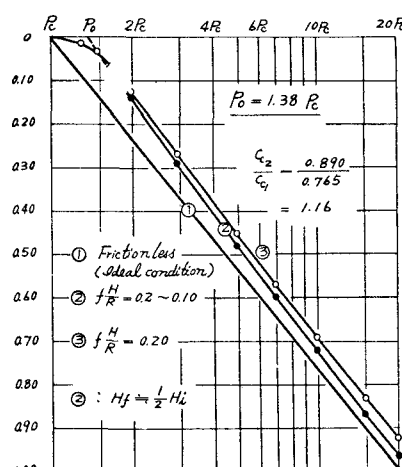


図-3 側面摩擦の作用する $e - \log \bar{\alpha}$ 曲線の特性

は試料厚さが圧密の最終荷重で半分となる場合の曲線を示し、Routine Test を代表して示す。

図-3 から土の組成があまり発達していないままで側面摩擦の影響によって、あたかも強度を土と同一特性と示す。圧密先行荷重は土被り圧の1.38倍、圧縮指数は1.16倍となる。

図-4, 5 は図-3 のようにして求められた正規圧密荷重、圧縮指数に及ぼす側面摩擦の影響を示したものである。図-6 は瀬戸内海沿岸の $40 < P_c < 60$ の試料について土被り圧と圧密先行荷重との関係をプロットしたものである。④は慣行解折法に基づく値と、③は側面摩擦力の影響を補正した値を示す。

表-1. 試料全厚に恒って有効応力が土被り圧より大きくなる圧密荷重

f_R^H	0.05	0.1	0.2	0.3	備考
n	1.21	1.44	1.98	2.64	$\bar{P}_{2+H} = P_c$
n'	1.16	1.34	1.75	2.23	$\bar{P}_{2+H} = P_c$

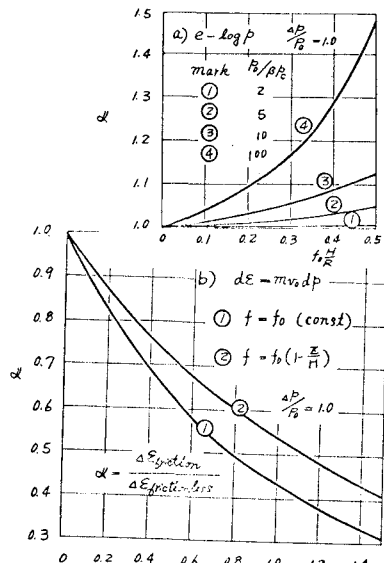


図-2 側面摩擦と各荷重段階における沈下ひずみの関係

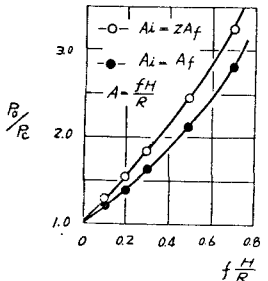


図-4 先行荷重と圧密先行荷重の比に及ぼす側面摩擦の影響

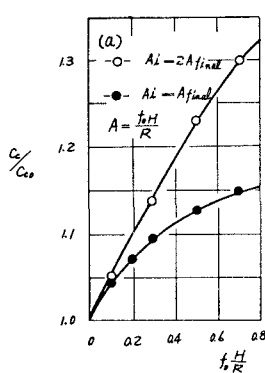


図-5 圧縮指數に及ぼす側面摩擦の影響

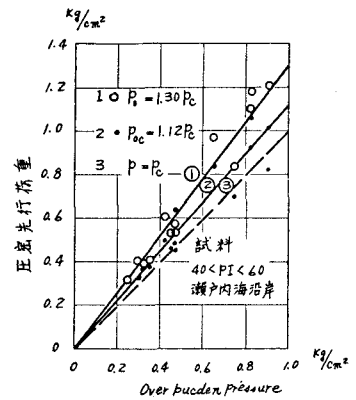


図-6 圧密先行荷重と土被り圧の関係

4) 圧密時間一軸下特性

Tengzhi 理論が一軸圧密試験結果の解析に用いられて来たが、著者は数年来側面摩擦の影響を圧密基礎方程式に考慮することを研究し、すでに発表しているが、本回はこれまでより一歩実際によく考えられた條件のもとに有効応力に関する圧密基礎方程式を導いて、その特性を検討した結果、沈下ひずみの特性と同じように、応力とひずみの関係を 1) $d\varepsilon = m_0 dp$, 2) $e - \log p$ が直線関係にあると仮定することによりて、側面摩擦の影響が全く違う関係にならざらかとなつた。圧密基礎方程式は一般に

$$\frac{du}{dt} = C_v \left(\frac{\partial u}{\partial z} + \frac{\partial u}{\partial t} + \frac{\partial u}{\partial p} \right) \quad \dots \dots \dots (5)$$

となり、ここで $u = \frac{dp}{dt}$ は時刻 t における深さ z の有効応力を示し、 m_0 は压密増加荷重を示す。 $\frac{\partial u}{\partial z}$ 、 $\frac{\partial u}{\partial t}$ 、 $\frac{\partial u}{\partial p}$ はひずみと応力の関係、側面摩擦の特性によることより、表-2 によれば

表-2 $\frac{\partial u}{\partial z}$ 、 $\frac{\partial u}{\partial t}$ 、 $\frac{\partial u}{\partial p}$ の一覧表

状態	過圧密	正規圧密	正規圧密
初期状態	$d\varepsilon = m_0 dp$	$d\varepsilon = m_0 dp$	$d\varepsilon = \frac{C_v}{1+m_0} \frac{dp}{dt}$
$\frac{\partial u}{\partial z}$	1	1	1
$\frac{\partial u}{\partial t}$	$\frac{z_0}{R} (1 - \frac{z}{R})$	$\frac{z_0}{R}$	$\frac{z_0}{R} \cdot \frac{z_0}{z_0'}$
$\frac{\partial u}{\partial p}$	$-\frac{z_0}{R^2}$	0	$-\frac{z_0}{R} \cdot \frac{z_0'}{z_0'}$
z_0	$(1 + \frac{t}{T_{50}}) e^{-\frac{t}{T_{50}}} - \frac{1}{m_0} + m_0 u$		
z_0'	$-z \frac{t}{R} (1 + \frac{t}{T_{50}}) e^{-\frac{t}{T_{50}}} + n \frac{du}{dt}$		

片面排水条件で有効応力の各厚さの時間的变化を求め、ひずみの変化に注目して、平均压密系数 50% の時間係数を、压密反応曲線から読み取ると図-7 のようである。図-7 から $e - \log p$ を直線と仮定する場合には 50% の時間係数は、側面摩擦が大きくなると、土被り圧に比例する圧密荷重の比が大きくなるほど、Tengzhi の $T_{50} = 0.197$ よりも小さくなつてゆく。そこで荷重の大きさには無関係となる。式中にひずみ速度の影響を無視しておいたが、圧密過程中の側面摩擦力の変化を考慮すると、有効応力の増加に伴う側面摩擦力が常に平均圧下ひずみ速度によって変化する側面摩擦力が作用してしまって明瞭かとなつた。図-8 に実測結果を示す。図-8 の左の影響を式の解に考慮するため、Tengzhi-Friedrich の漸増荷重の圧密度-時間曲線の近似解法

を用いて、 $d\varepsilon = m_0 dp$ では側面摩擦が大きくなる、Tengzhi の $T_{50} = 0.197$ よりも小さくなつてゆく。そして荷重の大きさには無関係となる。式中にひずみ速度の影響を無視しておいたが、圧密過程中の側面摩擦力の変化を考慮すると、有効応力の増加に伴う側面摩擦力が常に平均圧下ひずみ速度によって変化する側面摩擦力が作用してしまって明瞭かとなつた。図-8 に実測結果を示す。図-8 の左の影響を式の解に考慮するため、Tengzhi-Friedrich の漸増荷重の圧密度-時間曲線の近似解法

且利用して、 F_2 に相当する荷重だけに圧密中に側面摩擦を考慮して計算によって圧密度-時間曲線を修正し、 T_{50f} を求めて *frictionless* と比較すと F_2/F_1 の値によって、側面摩擦の影響が異り、図-9 では圧密度 10% の f_R^H の値を基準として横軸にプロットし、側面摩擦の大きさ上をハラマーテーとして、時間係数に及ぼす側面摩擦の影響を示し

2) 3.

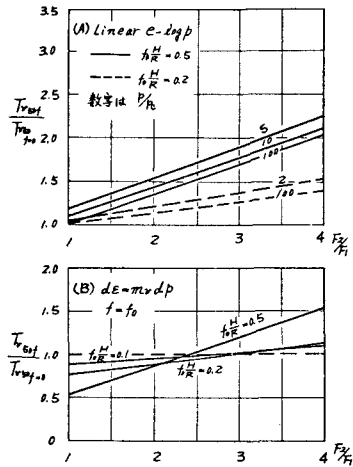


図-9 荷重の変化と 50% の時間係数の関係

5) まとめ。

一軸圧密試験によつて求められ

- る圧密特性はひずみと応力の関係がどのように示されたかで側面摩擦の影響が異り、① $d\varepsilon = m \varepsilon dp$ 、② $e-\log p$ が直線関係にあひよからずの影響を与える場合がある。したがつて、 Δ 壓密荷重中が $D_c=1.0$ を満足する荷重 P_1 よりも小さな場合 $P < P_1$ 、③ $P_1 < P < P_2$ 、④ $P_2 < P < P_3$ ($P_3 = 2e^{2\frac{f_R^H}{P_2}} - 1$)、⑤ $P > P_3$ 。⑥ $P \gg P_3$ の荷重領域で側面摩擦によって圧密特性が異る。①、②、③、④、⑤、⑥ 領域では側面摩擦の影響を補正して、*frictionless* の一次元圧密特性を推定することとは比較的簡単であるが、③、④ 領域での補正が簡単には出来ないであろう、特に⑤領域での特性が明らかでなければ問題は複雑となる。本報告では③、④、⑥ 領域を取扱つてある。

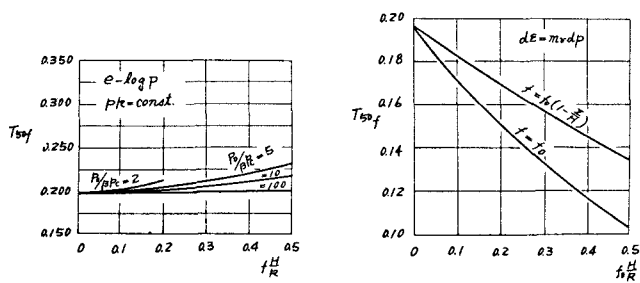


図-10 側面摩擦の作用する圧密時間係数 T_{50f}

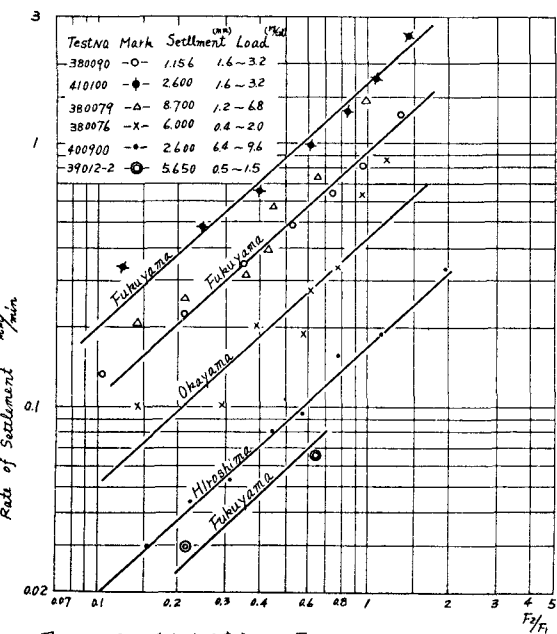


図-11 平均沈下速度と F_2/F_1

(F(側面摩擦力の増加分) = F_1 (有効応力の増加による) + F_2 (有効応力以外による))

21-4